ステンレス鉄筋と珊瑚由来の石灰岩骨材を用いたコンクリート梁の力学特性

東亜建設工業 正会員 〇田中 亮一 早稲田大学 フェロー 清宮 理 五洋建設 フェロー 内藤 英晴 東洋建設 フェロー 佐野 清史

港湾空港技術研究所 正会員 与那嶺一秀

1. はじめに

遠隔離島では、真水および普通骨材の入手が困難で、また建設労働者の確保も難しい場合があり、経済性の観点から現地で調達できる材料によってコンクリートが製造でき、かつ施工性の観点から省力化できることが望まれている。筆者らは、これまでに現地で調達可能な海水および珊瑚由来の石灰岩骨材(以下、珊瑚骨材)を用いた高流動コンクリートを開発し、コンクリートの基本的な諸特性について実験的検討を進めてきた「)。また、当該コンクリートを鉄筋コンクリート構造物に適用する場合には、鋼材腐食を防止するためにステンレス鉄筋の使用を想定しており、埋設鉄筋の腐食特性に関する検討も進めている²⁾。本稿では、ステンレス鉄筋と海水および珊瑚骨材を用いたコンクリートで構成されたコンクリート梁の曲げ載荷試験を実施し、普通骨材を用いたコンクリート梁と力学特性について比較し、また既往の計算式³⁾の適用性について検討した。

2. 実験概要

表-1 にコンクリートの配合を,表-2 に骨材の主な物性値を示す. SW-CA は海水および珊瑚骨材を用いた配合で, SW-NA は海水および普通骨材 (大井川水系産陸砂,青梅産硬質砂岩砕石)を用いた配合とした.水セメント比は 45.0%,単位粗骨材量は 0.315m³/m³ で一定とし,スラン

プフロー 600 ± 50 mm, 空気量 4.5 ± 1.0 %となるように, 単位水量および単位混和剤量を調整した.

図-1 に試験体の概要を示す.本検討では、せん断スパン比 a/d の異なる 2 種類の試験体(曲げ破壊先行型 a/d=3.3、せん断破壊先行型 a/d=2.0)を各配合 1 体製作し、曲げ載荷試験を行った.試験体に用いたステンレス鉄筋(SUS410-SD345)は、引張鉄筋に D19 (0.2%耐力

表-1 コンクリートの配合

							-		
配合	W/C	s/a	単位量(kg/m³)						
HL I	(%)	(%)	W	C	S1	S2	G1	G2	SP
SW-CA	45.0	50.8	185	411	845		756		6.17
SW-NA	45.0	52.0	175	389		881		838	4.28

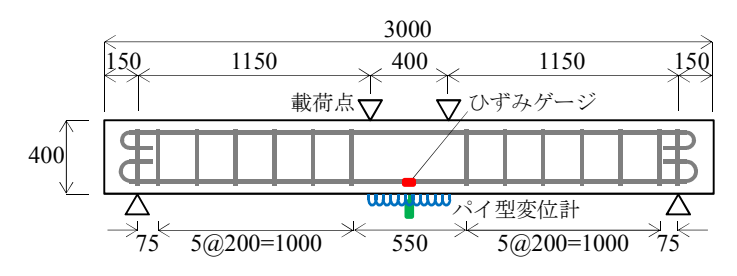
W:海水, C:高炉セメントB種, S1:珊瑚細骨材, S2:普通細骨材,

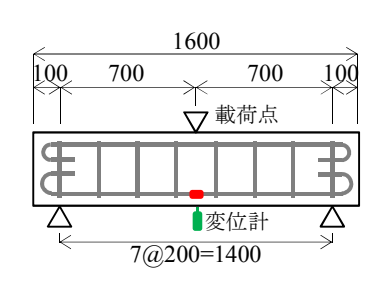
G1:珊瑚粗骨材, G2:普通粗骨材, SP:特殊混和剤

表-2 骨材の主な物性値

	細帽	骨材	粗骨材		
401生	珊瑚	普通	珊瑚	普通	
粗粒率	2.53	2.77	6.14	6.71	
微粒分量(%)	14.8	1.5	3.6	0.1	
実積率(%)	68.1	69.2	62.5	62.8	
表乾密度(g/cm³)	2.60	2.58	2.40	2.66	
吸水率(%)	3.30	2.34	5.13	0.58	
すりへり減量(%)	1	1	29.4	16.4	
安定性損失率(%)	1.6	0.8	3.3	0.9	

387N/mm²), 圧縮鉄筋およびせん断補強鉄筋に D13 (0.2%耐力 420N/mm²) とした. 載荷試験における計測項目は, 荷重, 梁中央変位, 鉄筋ひずみとした. なお, 曲げ破壊先行型試験体(図-1 左) においては, 曲げモーメント一定区間の試験体下面にパイ型変位計を設置し, ひび割れの開口変位(以下, 開口変位)を計測した.





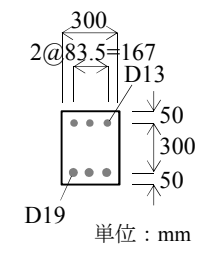


図-1 試験体概要(左:a/d=3.3,中:a/d=2.0,右:断面)

キーワード 珊瑚骨材、海水、高流動コンクリート、ステンレス鉄筋、載荷試験、力学特性

連絡先 〒230-0035 神奈川県横浜市鶴見区安善町 1-3 東亜建設工業(株)技術研究開発センター TEL:045-503-3741

3. 実験結果

表-3 に管理供試体による強度試験結果を示す. なお,供試体は梁試験体と同じ条件で養生し(型枠脱型材齢 21 日),強度試験は載荷試験と同日に行った.破壊エネルギーの値から,SW-CAのひび割れ抵抗性はSW-NAに比べて劣ることが確認された.

表-3 コンクリートの強度特性

		圧縮強度	静弾性係数	引張強度	破壊エネルギー*	
	配合	(N/mm^2)	(kN/mm^2)	(N/mm^2)	(N/mm)	
		JIS A 1108	JIS A 1149	JIS A 1113	JCI-S-001-2003	
	SW-CA	55.4	27.6	4.12	0.135	
	SW-NA	52.0	29.3	5.87	0.345	

※切欠きはりの3点曲げ載荷の荷重-ひび割れ開口変位曲線から算出

図-2 に曲げ破壊先行型試験体による曲げモーメントと変位の関係を、図-3にせん断破壊先行型試験体による荷重と変位の関係を示す. なお、すべての試験体において、圧縮縁のコンクリートが圧壊して終局に至った. SW-CA の最大モーメントおよび最大荷重は SW-NA に比べて小さく、また最大荷重時の変位量も小さかった. この結果から、SW-CA の変形性能は SW-NA に比べて劣ると考えられる. しかし、SW-CA と SW-NA は同じような挙動を示しており、珊瑚骨材を用いた場合でも、普通骨材を用いたコンクリート梁と同程度の力学特性を有すると考えられる. なお、載荷中の SW-CA の曲げひび割れや斜めせん断ひび割れは分散して発生し、SW-NA も同様であった.

参考文献 3)の断面破壊の照査式により算定した計算値(設計断面耐力)と実験値の比較を表-4 に示す. 実験値は計算値よりも大きい値となっており, 既往の計算式により設計断面耐力を算定できることが確認された.

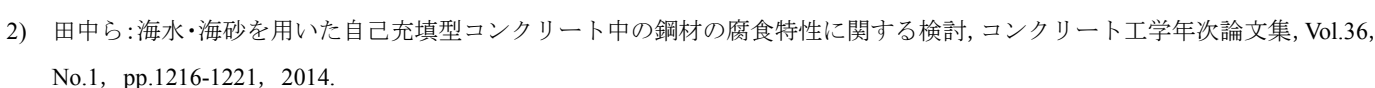
曲げひび割れ幅を推定できると考えられる.

4. まとめ

珊瑚骨材を用いたコンクリート梁は、普通骨材コンクリート梁と ほぼ同程度の力学特性を有していることが確認された。また、設計 断面耐力および曲げひび割れ幅の算定にあたっては、既往の計算式 を用いることが可能であることを示した。

参考文献

1) 竹中ら:海水および珊瑚由来の石灰石骨材を用いた自己充填型コンクリート の諸特性,コンクリート工学年次論文集, Vol.39, No.1, pp.1567-1572, 2017.



- 3) 土木学会: 2017年制定コンクリート標準示方書[設計編], pp.180-195 および pp.231-233.
- 4) 土木学会: ステンレス鉄筋を用いるコンクリート構造物の設計施工指針(案), コンクリートライブラリー130, pp.7-8, 2008.9.

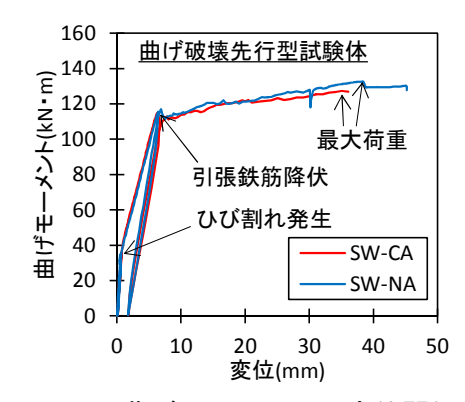


図-2 曲げモーメントー変位関係

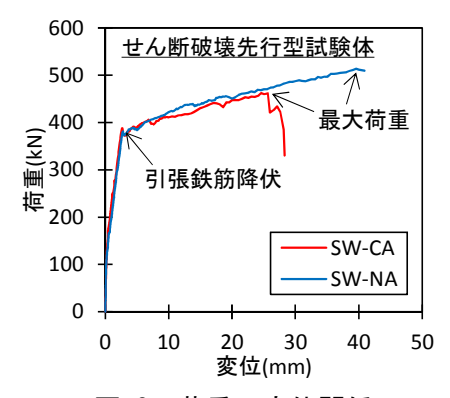


図-3 荷重-変位関係

表-4 実験値と計算値の比較

配合	曲げ耐力	J(kN·m)	せん断耐力(kN)		
BC.D.	実験値	計算値	実験値	計算値	
SW-CA	127.3	112.4	231.2	218.0	
SW-NA	132.7	112.2	256.7	218.0	

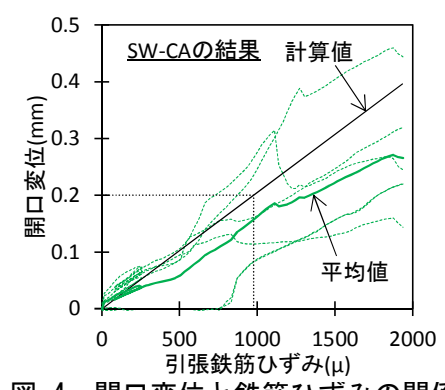


図-4 開口変位と鉄筋ひずみの関係